

脆性材料の損傷力学モデルの構成に関する研究

東北大学 学生員 ○林 直宏
 東北大学 正員 岸野 佑次
 東北大学 正員 京谷 孝史
 東北大学 学生員 金子 賢治

1はじめに

材料中に分布する微視き裂は材料損傷の原因になる。微視き裂の力学的效果を損傷量で表し、損傷材料の挙動（構成則）と損傷量の発展（発展則）を同時に把握できる損傷力学モデルが提案されている。それらのモデルの検証には材料の挙動を測りながら、同時にき裂の発展を観測できなければならぬ。粒状体シミュレーションでは材料の挙動とそのときのき裂の発生を把握することができる。

Dragon¹⁾は自由エネルギー関数を仮定して、そこから構成則と発展則を誘導している。ただし、関数形や誘導方法において独自の制約を設けている。本研究では粒状体シミュレーションを行い、その結果を利用して、具体的により一般的な損傷力学モデルに基づいて検証を行った。なお、本研究で用いる応力とひずみは圧縮を正とする。

2 損傷力学モデルの検証に用いた粒状体シミュレーション解析法

損傷力学において損傷の程度を損傷変数で表わされる。Dragonは損傷変数を2階のテンソルで以下のように仮定している。材料中のある微視領域に含まれる微視き裂のうちj番目のき裂面の単位法線ベクトルを \mathbf{n}_j (図-1-a)、き裂が発生したことにより増加した表面積を $d(s)_j$ とする。損傷テンソル \mathbf{D} は次式で表される。

$$\mathbf{D} = \sum_j d(s)_j (\mathbf{n}_j \otimes \mathbf{n}_j) \quad (1)$$

粒状体シミュレーションにおいて、2粒子間を伝わる引張力が粒子間の結合力をこえると2粒子は離れる。離れた2粒子間にき裂が入るものとする。損傷テンソル \mathbf{D} 以下のようにを決定する。

$$\mathbf{D} = \sum_j \frac{1}{k_{\max}} (\mathbf{n}_j \otimes \mathbf{n}_j) \quad (2)$$

k_{\max} は初期接状態における接触点数、 \mathbf{n}_j は j 番目に離れた2粒子の中心を結ぶ線の単位ベクトルとする(図-1-b)。粒状体シミュレーションを行えば損傷テンソル \mathbf{D} は逐次求まる。

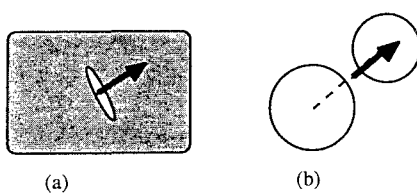


図-1 き裂面の法線ベクトル

一方、構成則の検証には境界の影響を最小に抑える制御をしなければならない。そこで本研究では図-2のように周期境界制御を用いて、領域があたかも周期的に無限に広がったものとみなした方法の解析を行うこととした。

3 自由エネルギー関数と構成則・発展則の誘導

Kachanov²⁾によれば、自由エネルギーは損傷テンソルの線形関数である。このことから自由エネルギーは次式のように表される。

$$w = g\epsilon_{ij}D_{ij} + \frac{1}{2}\lambda\epsilon_{ii}\epsilon_{jj} + \mu\epsilon_{ij}\epsilon_{ij} \\ + \alpha\epsilon_{ii}\epsilon_{jk}D_{jk} + 2\beta\epsilon_{ij}\epsilon_{jk}D_{ik} + \alpha\epsilon_{ii}D_{jj} \quad (3) \\ + \frac{1}{2}b\epsilon_{ij}\epsilon_{ij}D_{kk} + \frac{1}{2}c\epsilon_{ii}\epsilon_{jj}D_{kk}$$

ここに、 λ 、 μ はLameの定数である。式(3)をひずみ ϵ で微分すると次の構成則が得られる。

$$\sigma_{ij} = \frac{\partial w}{\partial \epsilon_{ij}} = gD_{ij} + \lambda\delta_{ij}\epsilon_{kk} + 2\mu\epsilon_{ij} \\ + \alpha[\delta_{ij}\epsilon_{kl}D_{kl} + \epsilon_{kk}D_{ij}] \quad (4) \\ + 2\beta(\epsilon_{ik}D_{jk} + \epsilon_{jk}D_{ik}) \\ + a\delta_{ij}D_{kk} + b\epsilon_{ij}D_{kk} + c\delta_{ij}\epsilon_{kk}D_{ll}$$

式(3)を損傷テンソル \mathbf{D} で微分すると次のエネルギー解放速度 F^D が求まる。

$$F_{ij}^D = -\frac{\partial w}{\partial D_{ij}} = -g\epsilon_{ij} - \alpha\epsilon_{kk}\epsilon_{ij} \\ - 2\beta\epsilon_{ik}\epsilon_{jk} - a\delta_{ij}\epsilon_{kk} \quad (5) \\ - \frac{1}{2}b\delta_{ij}\epsilon_{kl}\epsilon_{kl} - \frac{1}{2}c\delta_{ij}\epsilon_{kk}\epsilon_{ll}$$

このエネルギー解放速度 F^D は損傷テンソル \mathbf{D} を発展させる力とみなすことができる。損傷の発展は塑性論における塑性ひずみ増分の誘導方法を応用す

表-1 諸定数

粒子数	475(個)
粒径	0.05~0.15(cm)
バネ定数法線方向成分	1000(kgf/cm)
バネ定数接線方向成分	700(kgf/cm)
粒子間摩擦角	45°
平均粒子間結合力	5.0(kgf)
初期拘束圧	10.0(kgf/cm ²)

る。 F^D 空間に損傷基準として凸局面 $f(F^D, D) = 0$ を仮定する。塑性論における負荷関数と同じ考え方で、損傷を経験していない材料を載荷すると、 F^D が $f(F^D, D=0) = 0$ に達したら初期損傷が起こり、さらに F^D が載荷なら $f(F^D, D) = 0$ を満たすように損傷テンソル D が発展するものとする。

4 具体的な構成則の誘導と損傷力学モデルの検証

粒状体シミュレーションに用いる諸定数を表-1 に、解析モデルの初期状態を図-2に示す。この初期状態のひずみを0として図-3に示すひずみの方向 (case1～case9) に (case1～case9) に載荷・除荷試験を行う。要素試験から、それぞれの載荷段階における (ε, σ, D) の組み合わせが得られる。 (ε, σ, D) の組み合わせから最小二乗法で式(3)の係数を決定する。逆に、得られた係数を式(3)に代入し、試験から得られた (ε, D) を使って応力 σ を求め、要素試験結果の応力 σ と比較する。たとえば、case6の載荷経路に関しては図-4になり、構成則は試験結果をよく表していることがわかる。

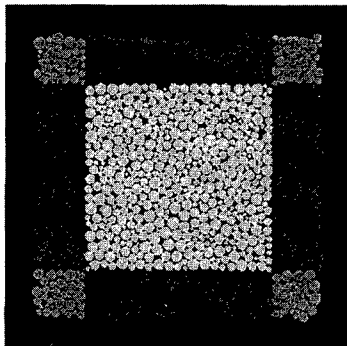


図-2 解析モデル

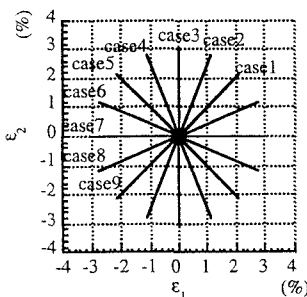


図-3 要素試験載荷経路

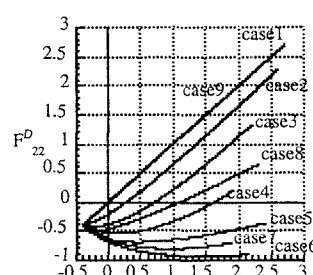


図-5 F^D 空間ににおける載荷経路

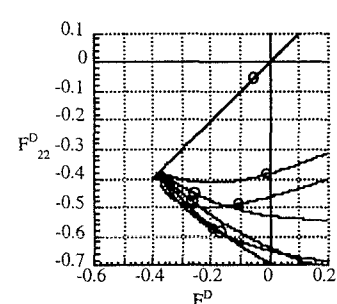


図-6 初期損傷発生点

参考文献

- 1) A.Dragon, F.Cormery, T.Desoyer & D.Halm 1994 [in] Localised failut analysis using damage models
- 2) Kachanov M. 1987.[in] Damge mechanics in Composites-Proc. ASME Ann. Meeting, ASME,99 -105